

บทที่ 3

การทดลอง

3.1 อุปกรณ์การทดลอง

3.1.1 แหล่งกำเนิดนิวตรอน

แหล่งกำเนิดนิวตรอนที่ใช้ในงานวิจัยนี้ คือไอโซโทปกัมมันตรังสี ^{252}Cf มีคุณสมบัติดังตารางที่ 3.1 (Hoste,1988) มีลักษณะเป็นแท่งทรงกระบอก ขนาดเส้นผ่านศูนย์กลาง 6 มิลลิเมตร สูง 22 มิลลิเมตร มี ^{252}Cf 114.15 μg ณ. วันที่ 5 มีนาคม 2542 มีลักษณะดังรูปที่ 3.1

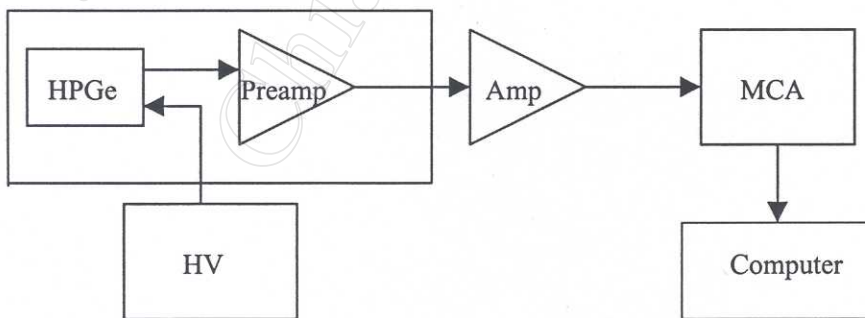
ตารางที่ 3.1 คุณสมบัติของแหล่งกำเนิดนิวตรอน ^{252}Cf

Decay mode	
α -emission	96.9%
spontaneous fission	3.1%
Half life	
α -decay	2.37 y
spontaneous fission	85.5 y
effective	2.63 y
neutron emission rate	$2.34 \times 10^{12} \text{ n.s}^{-1}.\text{g}^{-1}$
neutron emission per fission	3.75 n
average neutron energy	2.14 MeV



รูปที่ 3.1 Dummy ของแหล่งกำเนิดนิวตรอน ^{252}Cf

3.1.2 ระบบการวัดสเปกตรัมของรังสีแกมมา



รูปที่ 3.2 แสดงระบบเครื่องวัดสเปกตรัมรังสีแกมมา

ในการวัดสเปกตรัมของแกมมา ซึ่งมีหลายระดับพลังงาน ที่ปล่อยออกมาจาก ไอโซโทปกัมมันตรังสี ระบบการวัดสเปกตรัมของรังสีแกมมา จำเป็นต้องจำแนกปริมาณรังสี แกมมาที่ระดับพลังงานค่าต่าง ๆ ได้เป็นอย่างดีโดยระบบหัววัดสเปกตรัมของรังสีแกมมาประกอบ ด้วยส่วนต่าง ๆ ดังนี้

(ก) หัววัดรังสีแกมมา เป็นหัววัดสารกึ่งตัวนำ (semiconductor) ซึ่งผลิตจากผลึก เจอร์มาเนียมที่มีความบริสุทธิ์สูงเรียกว่าหัววัด high purity germanium (HPGe) รุ่น 10175GEM ใช้แรงดันไฟฟ้าแบบไบแอสกลับ (reverse bias) 3000 โวลต์ เมื่อมีรังสีแกมมาซึ่งมีพลังงานมากกว่าพลังงานแตกตัว (ionization energy) ของเจอร์มาเนียมซึ่งมีค่าประมาณ 3 eV ตกกระทบหัว วัดอาจทำให้เกิดปฏิกิริยาแบบใดแบบหนึ่งคือ photoelectric effect, Compton effect, pair production หรือทั้งสามแบบ มีผลทำให้เกิด current pulse ขึ้นในหัววัด โดยระหว่างการใช้งาน หัววัด HPGe จะต้องแช่อยู่ในไนโตรเจนเหลวซึ่งมีอุณหภูมิประมาณ 77 K เพื่อลดสัญญาณรบกวน จากอุณหภูมิที่เกิดขึ้นเนื่องจากการที่หัววัดใช้ศักย์ไฟฟ้าแรงสูง

(ข) ภาคขยายส่วนหน้า เป็นวงจรอิเล็กทรอนิกส์ซึ่งรับสัญญาณ current pulse ที่ ปล่อยมาจากหัววัดของหัววัดรังสีแกมมา แล้วเปลี่ยนสัญญาณให้เป็นแบบ voltage pulse

(ค) ภาคขยายหลักเป็นวงจรอิเล็กทรอนิกส์ซึ่งรับสัญญาณแบบ voltage pulse มา จาก preamplifier แล้วนำสัญญาณนั้นมาผ่านวงจร shaping ทำให้ได้สัญญาณที่มีแอมพลิจูดที่ ถูกต้องและมี pulse width ที่แน่นอนและสัญญาณจะถูกส่งต่อไปยังภาคขยายเพื่อทำการขยายสัญญาณ ให้มีแอมพลิจูดสูงขึ้นรุ่น Ortec 673

(ง) เครื่องจ่ายไฟโวลต์เตจสูง (high voltage power supply) ทำหน้าที่ให้ศักย์ ไฟฟ้ากระแสตรงขนาด +3000 โวลต์ ให้แก่หัววัด HPGe รุ่น Canberra model 3105

(จ) เครื่องวิเคราะห์แบบหลายช่อง (multichannel analyzer) หรือ MCA เป็น วงจรอิเล็กทรอนิกส์ซึ่งรับสัญญาณ voltage pulse มาจากภาคขยายหลัก และทำการวัดแอมพลิจูด ของสัญญาณแต่ละสัญญาณแล้วทำการเปลี่ยนสัญญาณให้อยู่ในรูปของ channel address โดยเครื่อง วิเคราะห์สัญญาณแบบหลายช่องนี้ต่ออยู่ในเครื่องคอมพิวเตอร์ในรูปแบบของ computer card ผลิต โดยบริษัท Aptic nuclear ใช้ร่วมกับโปรแกรม Aptic

(ฉ) เครื่องคอมพิวเตอร์รุ่น 386 DX2 ทำหน้าที่เก็บข้อมูลผลการวัดสเปกตรัมของ รังสีแกมมา และแสดงผลการวัดทาง monitor

3.1.3 แผ่น detectors

detectors เป็น โลหะบางเปอร์เซ็นต์ความบริสุทธิ์สูงผลิตโดยบริษัท Goodfellow (i) ใช้สำหรับตรวจวัดปริมาณรังสีนิวตรอน โดยเทคนิคการก่อกัมมันต์ในแผ่น โลหะแสดงรายละเอียด ดังตารางที่ 3.2 และ 3.3

ตารางที่ 3.2 แสดงความหนาและเปอร์เซ็นต์ความบริสุทธิ์ของแผ่น โลหะ

Nuclide	Thickness (mm)	Purity (%)
Al	1	99.00
Ti	1	99.6
Fe	1	99.5
Ni	1	99.99
Co	1	99.99
In	1	99.99

- (i) Goodfellow Cambridge Limited
Cambridge Science Park
CAMBRIDGE, CB44DJ, England

ตารางที่ 3.3 แสดงมวลอะตอมของ Nuclide

Nuclide	Atomic Mass (amu)
²⁷ Al	26.981538
⁴⁶ Ti	45.952630
⁵⁴ Fe	53.939613
⁵⁸ Ni	57.935346
⁵⁹ Co	58.933198
¹¹⁵ In	114.903876

3.1.4 ไอโซโทปกัมมันตรังสีมาตรฐาน

ไอโซโทปกัมมันตรังสีมาตรฐาน สำหรับใช้ในการสอบเทียบพลังงาน (energy calibration) และการหาค่าประสิทธิภาพ (absolute photo peak efficiency) ของหัววัดมีรายละเอียดดังตารางที่ 3.4

ตารางที่ 3.4 แสดงรายละเอียดของไอโซโทปกัมมันตรังสีมาตรฐาน

แหล่งที่ผลิต	ไอโซโทป	วัน/เดือน/ปี ที่ผลิต	ค่ากัมมันตภาพ (dps)
Burbank California USA	²² Na	01/08/88	3.99E+4
	⁶⁰ Co	01/04/88	3.94E+4
	¹³³ Ba	01/04/88	3.32E+4
	¹³⁷ Cs	01/04/88	3.57E+4
	²⁴¹ Am	01/04/88	4.12E+4
IAEA Vienna Austria	¹⁵² Eu	01/07/84	3.93E+5

3.1.5 อุปกรณ์การทดลองอบสารตัวอย่างในน้ำ

อุปกรณ์การทดลองอบสารตัวอย่างในน้ำ มีองค์ประกอบ 2 ส่วน คือ ส่วนของ phantom และ sample holder มีรายละเอียดดังนี้

(ก) phantom ประกอบด้วยพลาสติกใสที่มีความหนา 10 มิลลิเมตร มีความจุ 50 ลูกบาศก์เซนติเมตร ดังรูปที่ 3.2

(ข) sample holder ประกอบด้วยพลาสติกใสดังรูป 3.3 ส่วนข้างตั้งมีความสูง 20 เซนติเมตร กว้าง 5 เซนติเมตร ยาว 30 เซนติเมตร หลอดใส่สารรังสีมีเส้นผ่านศูนย์กลาง 6.2 มิลลิเมตร มีความสูง 5 เซนติเมตร อุปกรณ์สำหรับติดแผ่น detectors มีรัศมี 2.9, 5 และ 10.5 เซนติเมตร ตามลำดับ



รูปที่ 3.3 Phantom ขนาด 50 ลูกบาศก์เซนติเมตร



รูปที่ 3.4 Sample holder

3.1.6 เครื่องมือในการวิเคราะห์ข้อมูล

การวิเคราะห์ข้อมูลที่ได้จากการทดลองเพื่อคำนวณหาสเปกตรัมของนิวตรอนอาศัย software ดังนี้

- (ก) compiler ภาษา Fortran 77 บนระบบ Unix และเครื่องไมโครคอมพิวเตอร์
- (ข) โปรแกรมคอมพิวเตอร์ SAND II

3.2 วิธีดำเนินการทดลอง

3.2.1 การสอบเทียบพลังงานของระบบหัววัด HPGe (energy calibration)

ทำการติดตั้งระบบการวัดสเปกตรัมรังสีแกมมา ดังรูป 2.7 และ ทำการสอบเทียบพลังงานของระบบหัววัด HPGe เพื่อหาความสัมพันธ์ระหว่างพลังงานของรังสีแกมมากับหมายเลขแชนเนล (channel number) ของ MCA โดยใช้แหล่งกำเนิดรังสีแกมมาซึ่งเป็นสารกัมมันตรังสีมาตรฐานได้แก่ ^{24}Na , ^{60}Co , ^{137}Cs , ^{241}Am ได้ผลการสอบเทียบพลังงานดังตารางที่ 3.5

ตารางที่ 3.5 แสดงการสอบเทียบพลังงานของระบบหัววัดรังสีแกมมาแบบ HPGe

Gamma source	E_γ (keV)	Channel Number
^{22}Na	511.006	946.58
	1274.540	2415.91
^{60}Co	1173.236	2220.66
	1332.501	2527.46
^{137}Cs	661.645	1236.92
^{241}Am	59.537	77.58

หาสมการความสัมพันธ์ระหว่างพลังงานของรังสีแกมมาและ channel number จากข้อมูลในตารางที่ 3.5 โดยใช้สมการโพลิโนเมียลลำดับที่สอง ได้กราฟการสอบเทียบ พลังงานดังรูปที่ 3.5

$$Y = A + BX + CX^2 \quad (3.1)$$

เมื่อ

X คือ channel number

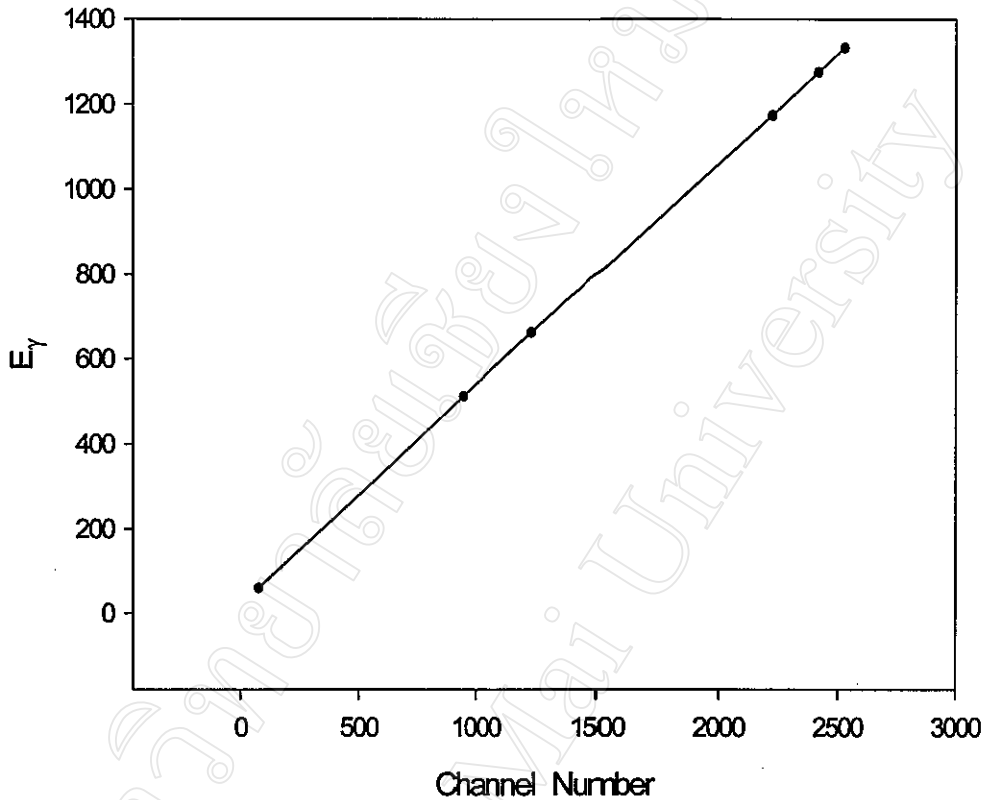
Y คือ พลังงานของรังสีแกมมา (keV)

ได้ค่าพารามิเตอร์สำหรับสมการ (3.1) ดังนี้

$$A = 19.294$$

$$B = 0.518$$

$$C = 7.351\text{E-}7$$



รูปที่ 3.5 กราฟแสดงการสอบเทียบพลังงานของระบบหัววัด HPGe

3.2.2 การหาค่าประสิทธิภาพ ของระบบหัววัด HPGe (absolute photo peak efficiency)

ค่าประสิทธิภาพของหัววัด คืออัตราส่วนของการวัดอัตราการสลายตัวของสารกัมมันตรังสีโดยวัดจากจำนวนนับใน photo peak ต่ออัตราการสลายตัวของสารกัมมันตรังสี ซึ่งสามารถคำนวณค่าประสิทธิภาพของหัววัดได้จากสมการที่ (3.2)

$$\varepsilon (\%) = \frac{\text{peak area} \times 100}{I_g \times A} \quad (3.2)$$

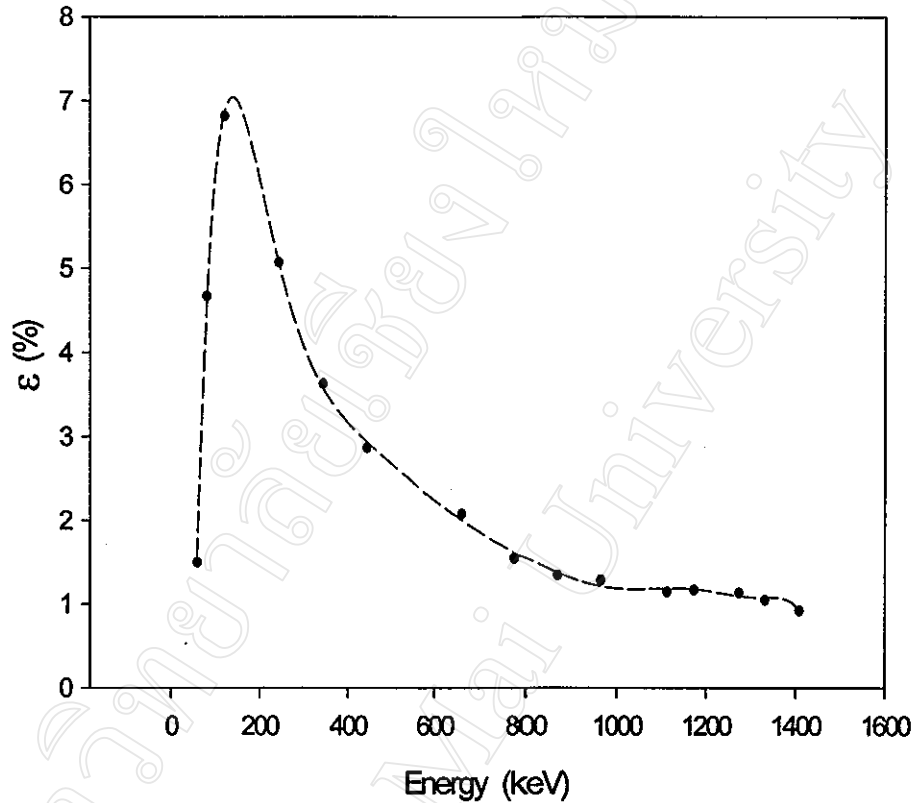
เมื่อ

- ε คือค่า absolute photo peak efficiency ของหัววัด (%)
- I_g คือค่า gamma fraction (%)
- A คือค่ากัมมันตภาพของสารกัมมันตรังสีมาตรฐาน (dis/sec)

ทำการทดลองเพื่อหาค่า ประสิทธิภาพของระบบหัววัด HPGe ที่ระยะห่างจากหัววัด 19.9 เซนติเมตร โดยใช้ไอโซโทป ซึ่งเป็นแหล่งกำเนิดรังสีแกมมามาตรฐาน ^{24}Na , ^{60}Co , ^{133}Ba , ^{137}Cs , ^{152}Eu , ^{241}Am ณ. วันที่ 30 มีนาคม 2542 แล้วนำค่าประสิทธิภาพที่ได้คูณกับสัดส่วนของรังสีแกมมาพลังงาน 661.64 keV ที่ระยะติดกับหัววัดต่อปริมาณรังสีแกมมาที่ระยะห่างจากหัววัด 19.9 เซนติเมตร ซึ่งมีค่า 43.6 ได้ผลการวัดค่าประสิทธิภาพดังตารางที่ 3.6 ได้กราฟแสดงค่าประสิทธิภาพของหัววัดที่ระยะติดกับหัววัด HPGe ของรังสีแกมมาพลังงานต่าง ๆ ดังรูปที่ 3.6

ตาราง 3.6 แสดงค่าประสิทธิภาพของหัววัด HPGe

Gamma Source	E_γ (keV)	I_g (%)	T_c (sec)	Peak area \pm error (%) (counts)	Peak efficiency (%)
^{22}Na	1274.54	99.94	2000	1092 \pm 3.2	1.08
^{60}Co	1173.23	99.89	1000	2356 \pm 2.9	1.17
	1332.50	99.98		2116 \pm 2.9	1.08
^{133}Ba	80.99	34.60	1000	5820 \pm 2.9	4.57
^{137}Cs	661.64	85.21	1000	11166 \pm 0.9	1.99
^{152}Eu	121.77	28.37	1000	81737 \pm 0.4	6.88
	244.69	7.51		15997 \pm 1.2	5.07
	344.27	26.580		40389 \pm 0.6	3.58
	443.98	3.151		3771 \pm 2.6	2.93
	778.89	12.960		8435 \pm 1.8	1.61
	867.38	4.160		2291 \pm 3.0	1.37
	964.05	14.620		8010 \pm 1.3	1.20
1112.08	13.560	6572 \pm 1.9	1.19		
^{241}Am	59.53	35.900	1000	4988 \pm 3.0	1.54



รูปที่ 3.6 แสดงประสิทธิภาพ (absolute photo peak efficiency) ที่ระยะติดกับหัววัด HPGe

3.2.3 การหาพื้นที่ใต้ peak ของรังสีแกมมาโดยโปรแกรม Aptec

โปรแกรม Aptec เป็นโปรแกรมที่ใช้ประกอบกับ MCA card โดยโปรแกรมจะแสดงค่า counts ที่ได้จากการวัดในรูปของสเปกตรัมของรังสีแกมมา โดยค่า net counts สำหรับรังสีแกมมาในช่วง ROI (roll region) ที่ใช้ในการคำนวณมีค่าดังสมการที่ (3.3) (Aptec Nuclear Inc.,1989)

$$\text{net counts} = \text{gross counts} - \text{background counts} \quad (3.3)$$

เมื่อ

gross counts

คือค่า counts ทั้งหมดของรังสีแกมมาใน ROI

background counts คือค่า counts ทั้งหมดของรังสีแกมมาใต้ background line ใน ROI
 net counts คือค่า counts ที่เป็นผลต่างระหว่าง gross counts และ background counts

ในโปรแกรม Aptec จะหา background line ได้จากการ fit สมการโพลีโนเมียลลำดับที่หนึ่ง ซึ่งมีรูปแบบดังสมการที่ (3.4) ระหว่างค่า counts เฉลี่ยใน channel เริ่มต้นของ background คือ A_{BL} และ ค่า counts เฉลี่ยใน channel สุดท้ายของ background คือ A_{BH} เพื่อหาค่าคงที่ B_0, B_1

$$xb_i = B_0 + B_1 Ch_i \quad (3.4)$$

$$A_{BL} = \frac{\sum_{i=BL}^{BL+k} x_i}{k} \quad (3.5)$$

$$A_{BH} = \frac{\sum_{i=BH-k}^{BH} x_i}{k} \quad (3.6)$$

เมื่อ

x_i คือค่า counts ในแต่ละ channel
 xb_i คือค่า counts ของ background ในแต่ละ channel
 BL คือ start channel ของ background
 BH คือ stop channel ของ background
 RL คือ start channel ของ ROI
 RH คือ stop channel ของ ROI
 k คือจำนวน channel ที่ใช้ในการหาค่าเฉลี่ย
 A_{BL} คือ ค่า counts เฉลี่ยของ start channel ของ background
 A_{BH} คือ ค่า counts เฉลี่ยของ stop channel ของ background

โดยที่

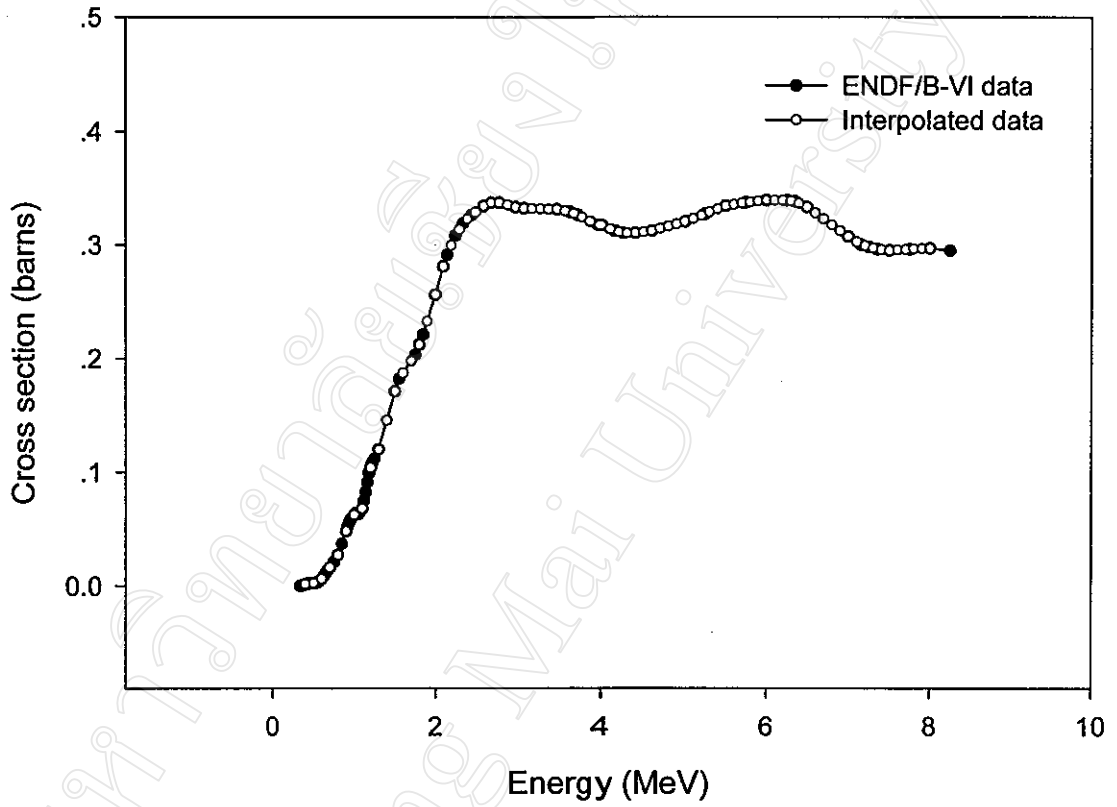
$$\text{background counts} = \sum_{i=RL}^{RH} xb_i \quad (3.7)$$

ดังนั้นพื้นที่ใต้ peak ที่ลบค่า background counts มีค่าดังสมการที่ (3.8)

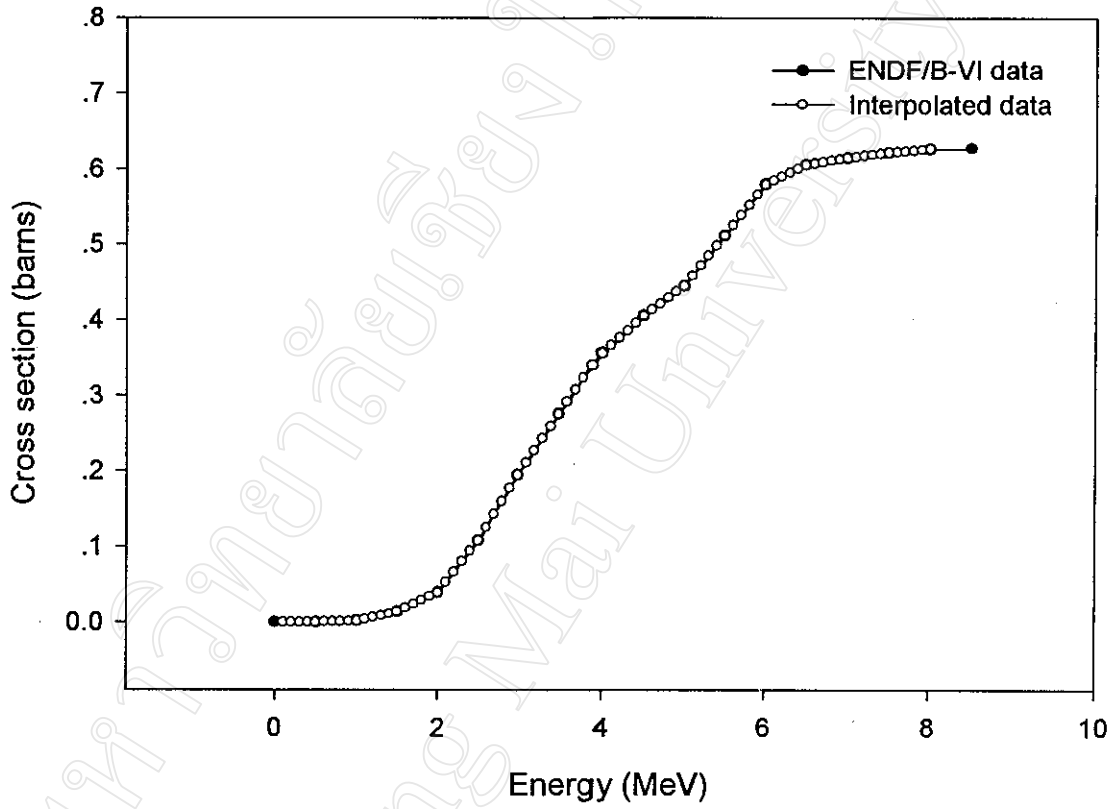
$$\text{peak area} = \sum_{i=RL}^{RH} x_i - \sum_{i=RL}^{RH} x b_i \quad (3.8)$$

3.2.4 การคัดเลือก threshold detectors และการจัดเตรียมข้อมูลค่า cross section

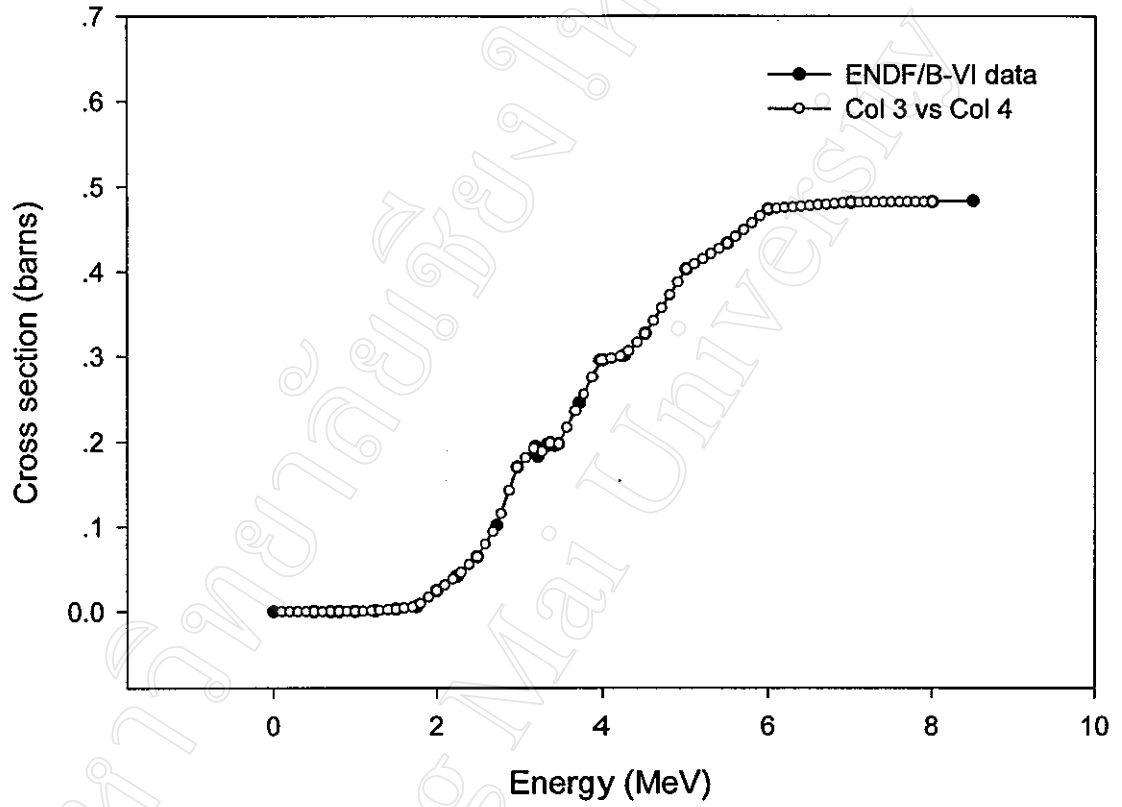
ทำการคัดเลือก detectors และปฏิกิริยาที่เหมาะสม สำหรับใช้เป็น threshold detectors ในการวัดสเปกตรัมของรังสีนิวตรอน โดยเทคนิคการก่อกัมมันต์ใน detectors โดยใช้หลักการคัดเลือก detectors ดังที่ได้กล่าวมาแล้วในหัวข้อ 2.8 และจัดหาข้อมูลค่า cross section ของการเกิดปฏิกิริยาที่เราเลือกใช้ให้สอดคล้องกับพลังงานของรังสีนิวตรอนทั้ง 77 ค่า โดยใช้โปรแกรม interpolation ดังรายละเอียดใน ผ.ก.2 ในการวิจัยนี้เลือกใช้ข้อมูลค่า cross section ของการเกิดปฏิกิริยาจาก ENDF/B - VI ได้กราฟแสดงความสัมพันธ์ระหว่างค่า cross section และพลังงาน ดังรูปที่ 3.7 ถึง 3.12 ดูรายละเอียดในภาคผนวก ผ.ก.3 ซึ่งข้อมูลค่า cross section ของการเกิดปฏิกิริยานี้เป็นข้อมูลที่ประกอบในการคำนวณของโปรแกรมคอมพิวเตอร์ SAND II



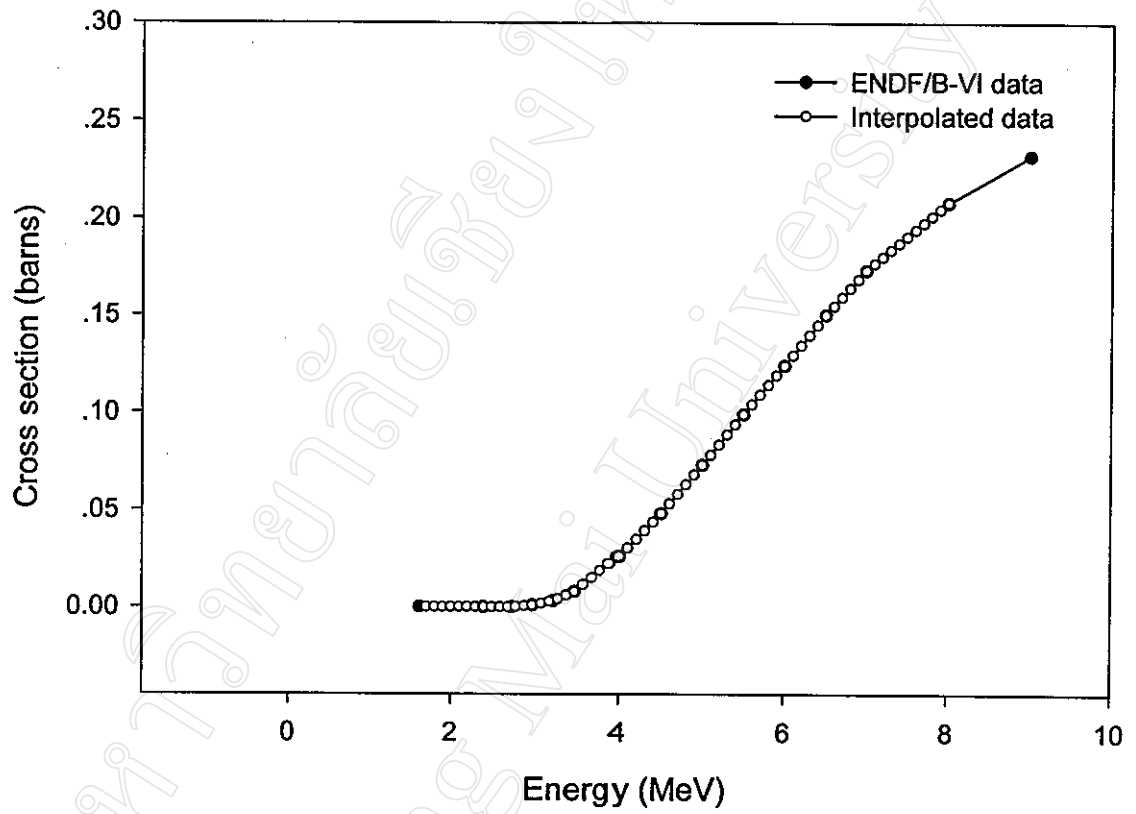
รูปที่ 3.7 แสดงค่า cross section ของปฏิกิริยา $^{115}\text{In}(n,n')^{115\text{m}}\text{In}$



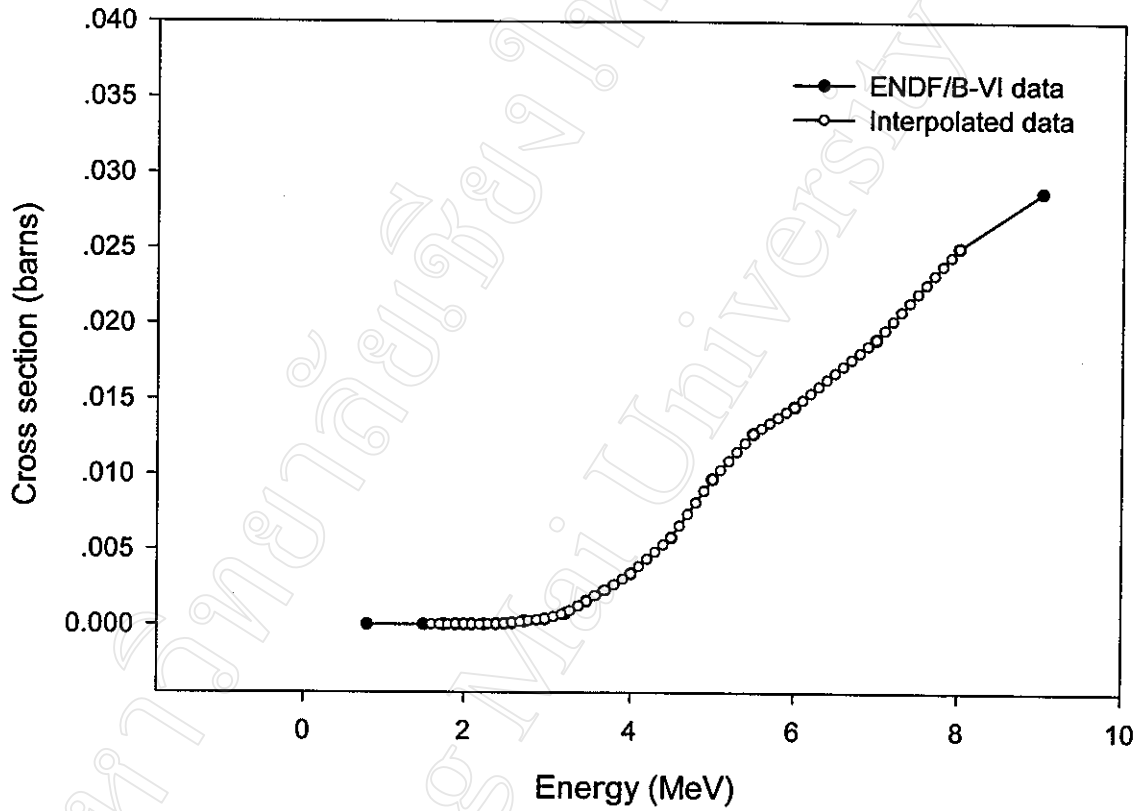
รูปที่ 3.8 แสดงค่า cross section ของปฏิกิริยา $^{58}\text{Ni}(n,p)^{58}\text{Co}$



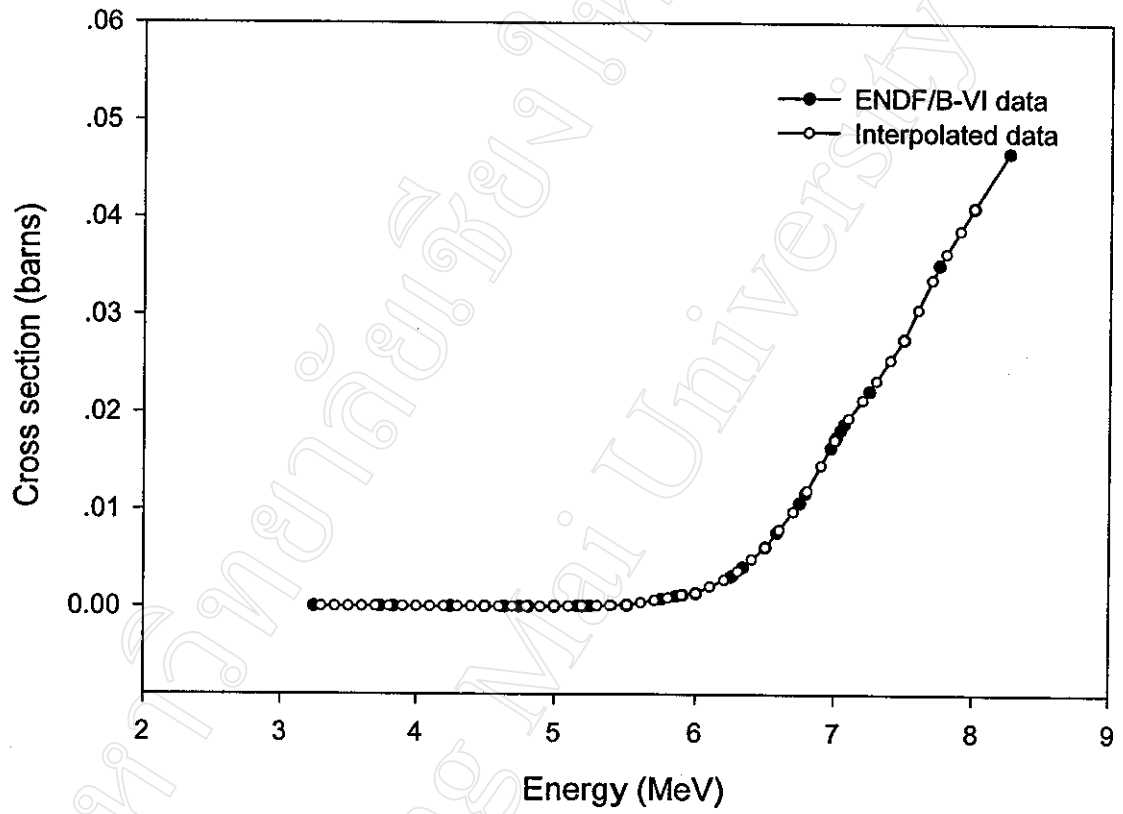
รูปที่ 3.9 แสดงค่า cross section ของปฏิกิริยา $^{54}\text{Fe}(n,p)^{54}\text{Mn}$



รูปที่ 3.10 แสดงค่า cross section ของปฏิกิริยา $^{46}\text{Ti}(n,p)^{46}\text{Sc}$



รูปที่ 3.11 แสดงค่า cross section ของปฏิกิริยา $^{59}\text{Co}(n,p)^{59}\text{Fe}$



รูปที่ 3.12 แสดงค่า cross section ของปฏิกิริยา $^{27}\text{Al}(n,\alpha)^{24}\text{Na}$

3.2.5 การอบแผ่น detectors

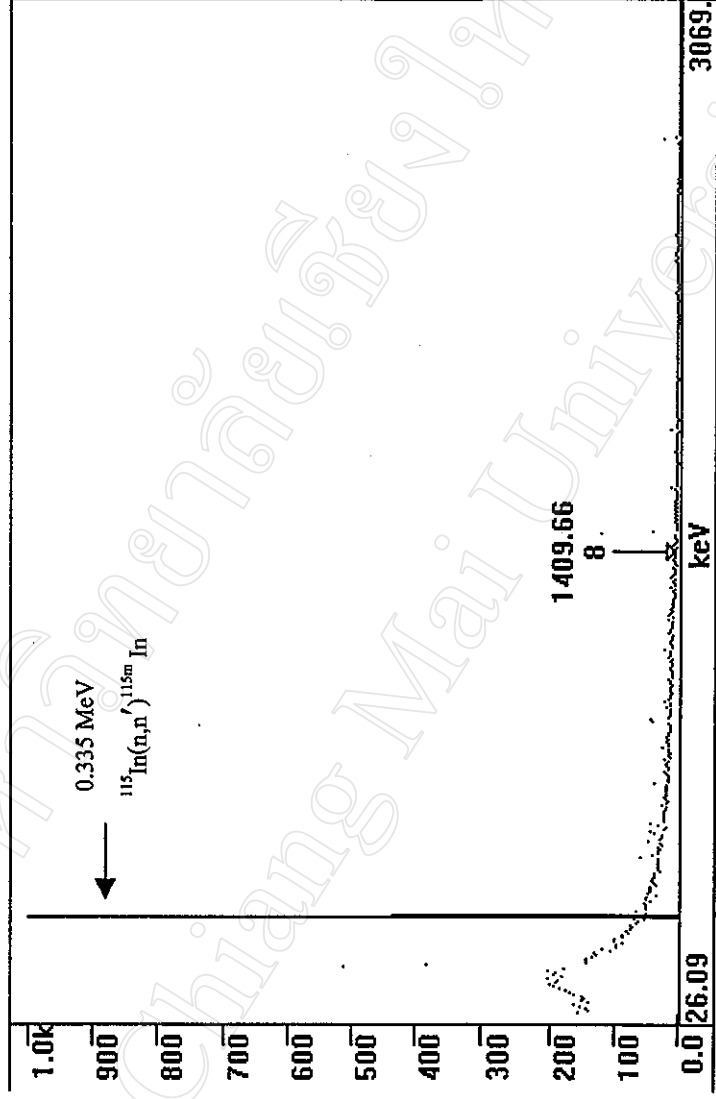
การนำ detectors ไปอบรังสีนิวตรอนนั้น จะต้องทำการจัดอุปกรณ์สำหรับแขวนสารตัวอย่าง (sample holder) ให้สามารถควบคุมให้ detectors อยู่ห่างจากไอโซโทปกัมมันตรังสี ^{252}Cf ในระยะทางที่เท่ากันในการวิจัยครั้งนี้ได้ออกแบบ sample holder ดังหัวข้อ 3.1.5 โดยในการอบรังสีนิวตรอนของ detectors ครั้งแรกทำการอบรังสีในตัวยกกลางอากาศ ที่ระยะห่างจาก ^{252}Cf 2.9 เซนติเมตร แล้วจึงทำการอบแผ่น detectors ในตัวยกกลางน้ำที่ระยะห่างจาก ^{252}Cf เป็นระยะทาง 2.9, 5 และ 10.9 เซนติเมตร โดยจัดวางชุดอุปกรณ์สำหรับแขวนสารตัวอย่างลงในน้ำ โดยให้ส่วนขาตั้งด้านซ้ายและด้านขวาห่างจากผนังของ phantom เป็นระยะทาง 10 เซนติเมตร ด้านหน้าและด้านหลังห่างจากผนัง phantom เป็นระยะทาง 22.5 เซนติเมตร จะทำให้ไอโซโทปกัมมันตรังสีอยู่ตรงกลางของ phantom นำน้ำใส่ใน phantom พลาสติก ซึ่งมีลักษณะดังรูปที่ 3.3 โดยใช้ระดับน้ำที่ 40 เซนติเมตร วาง ^{252}Cf ลงในชุดอุปกรณ์สำหรับแขวนสารตัวอย่างในส่วนหลอดใส่สารกัมมันตรังสี

3.3 การวิเคราะห์สเปกตรัมของรังสีแกมมา

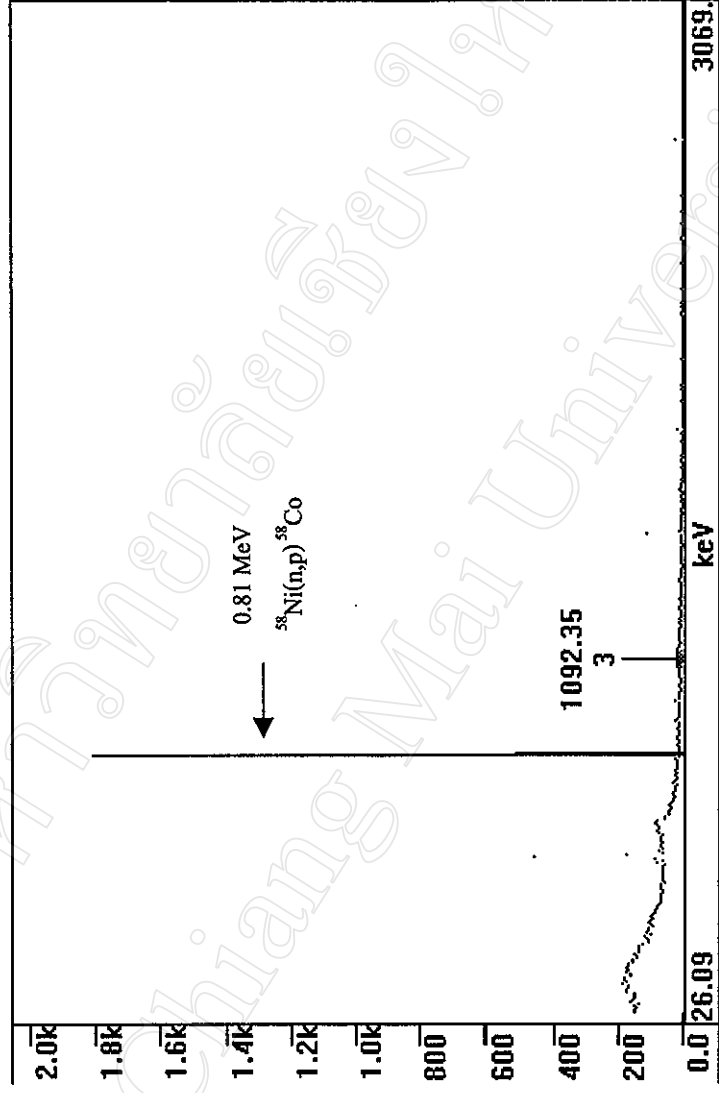
ทำการวัดรังสีแกมมาจาก detectors แต่ละชนิด โดยใช้หัววัด HPGe ซึ่ง detector แต่ละชนิดจะให้รังสีแกมมาซึ่งเกิดจากปฏิกิริยาต่าง ๆ หลายค่าพลังงาน โดยโปรแกรม Aptec จะแสดงปริมาณของรังสีแกมมา ในรูปของสเปกตรัมของรังสีแกมมา สำหรับการวิจัยครั้งนี้สนใจวัดรังสีแกมมาพลังงานต่าง ๆ ดังรายละเอียดในตารางที่ 3.7 ได้สเปกตรัมของรังสีแกมมาจากปฏิกิริยาที่สนใจดังตัวอย่างสเปกตรัมของรังสีแกมมาในรูปที่ 3.13 ถึง รูปที่ 3.18 แล้วทำการหาค่า counts ของรังสีแกมมาแต่ละค่าพลังงานเพื่อใช้เป็นข้อมูลในการคำนวณ โดยโปรแกรม SAND II ต่อไป

ตารางที่ 3.7 แสดงรายละเอียดของปฏิกิริยานิวเคลียร์

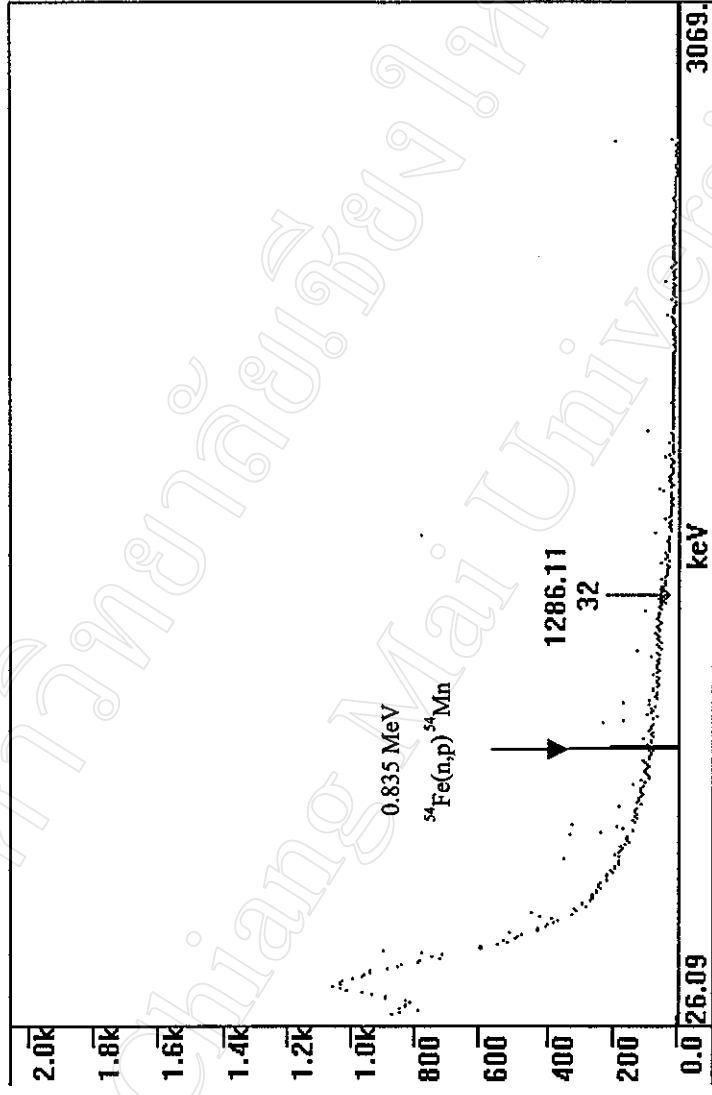
Nuclear reaction	Isotope abundance (%)	E_{γ} (MeV)	$T_{1/2}$	Gamma fraction (%)	Efficiency (%)	E_{Th} (MeV)
$^{115}\text{In}(n,n')^{115m}\text{In}$	95.7	0.335	4.4 h	95.7	3.67	1.1
$^{58}\text{Ni}(n,p)^{58}\text{Co}$	68.3	0.81	71.4 d	99	1.52	2.6
$^{54}\text{Fe}(n,p)^{54}\text{Mn}$	5.8	0.835	295.8 d	100	1.45	3.1
$^{46}\text{Ti}(n,p)^{46}\text{Sc}$	8	0.889	84 d	100	1.32	7
$^{59}\text{Co}(n,p)^{59}\text{Fe}$	100	1.292	45 d	44	1.07	5
$^{27}\text{Al}(n,\alpha)^{24}\text{Na}$	100	1.369	15 h	100	1.06	8.8



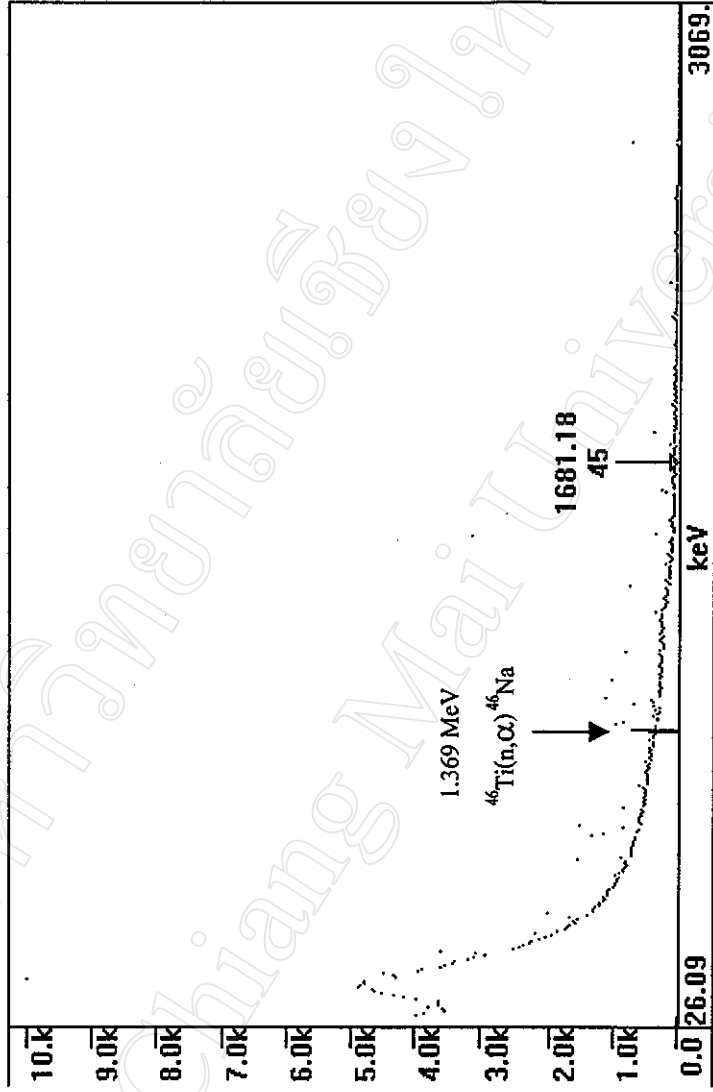
รูปที่ 3.13 แสดงสเปกตรัมของรังสีแกมมาจากปฏิกิริยา $^{115m}\text{In}(n,n')^{115m}\text{In}$



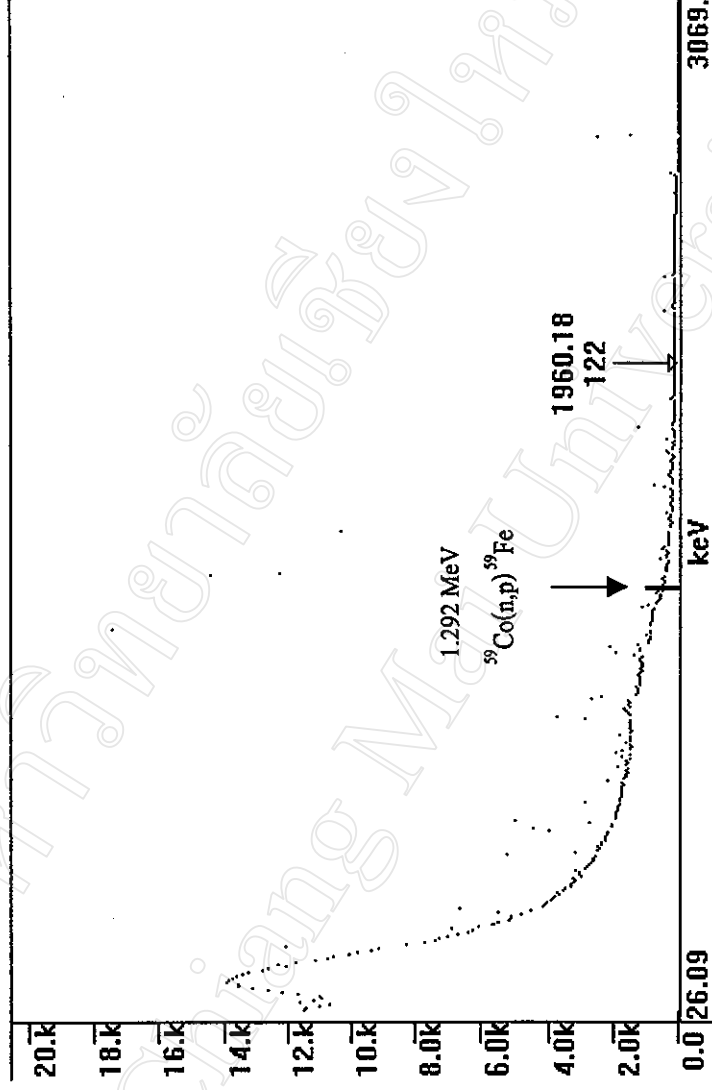
รูปที่ 3.14 แสดงสเปกตรัมของรังสีแกมมาจากปฏิกิริยา $^{58}\text{Ni}(n,p)^{58}\text{Co}$



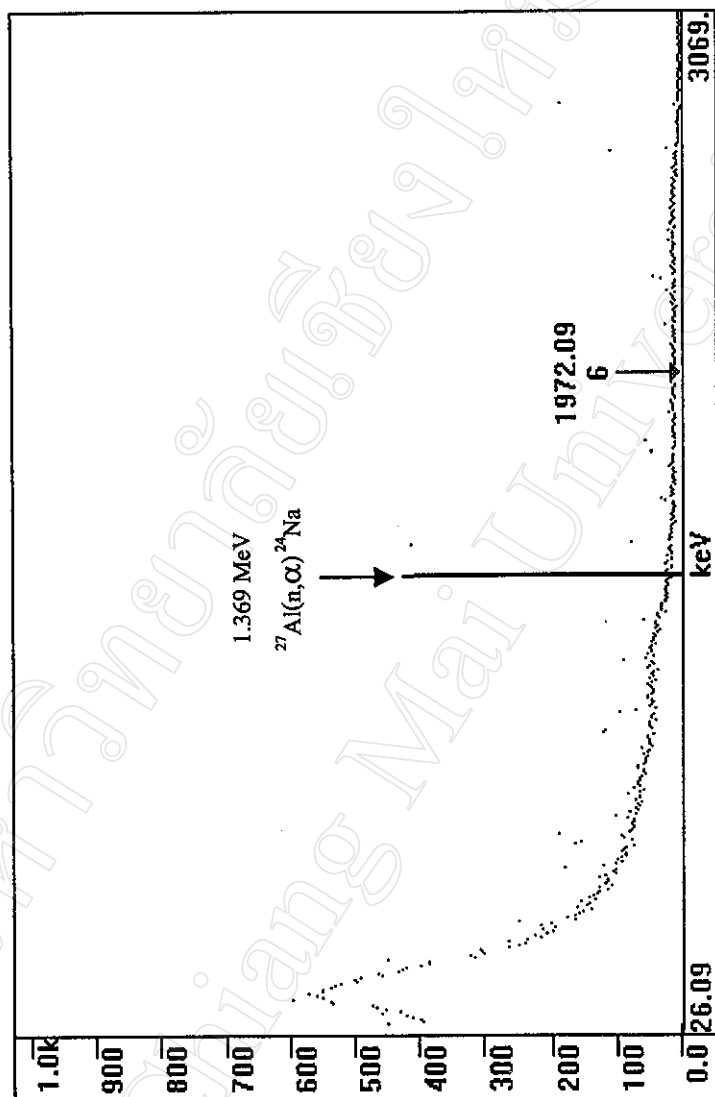
รูปที่ 3.15 แสดงสเปกตรัมของรังสีแกมมาจากปฏิกิริยา $^{54}\text{Fe}(n,p)^{54}\text{Mn}$



รูปที่ 3.16 แสดงสเปกตรัมของรังสีแกมมาจากปฏิกิริยา $^{46}\text{Ti}(n,p)^{46}\text{Sc}$



รูปที่ 3.17 แสดงสเปกตรัมของรังสีแกมมาจากปฏิกิริยา $^{59}\text{Co}(n,p)^{59}\text{Fe}$



รูปที่ 3.18 แสดงสเปกตรัมของรังสีแกมมาจากปฏิกิริยา $^{27}\text{Al}(n,\alpha)^{24}\text{Na}$

3.4 การวิเคราะห์ค่าความคลาดเคลื่อนในการทดลองหาสเปกตรัมของนิวตรอน

โดยวิธีก่อกัมมันต์ในแผ่นโลหะ

ค่าความคลาดเคลื่อนของการทดลอง (experimental uncertainty) ของการหาสเปกตรัมของนิวตรอนโดยวิธีการก่อกัมมันต์ในแผ่นโลหะในครั้งนี้ประกอบด้วย

(ก) ค่าความคลาดเคลื่อนของการนับเชิงสถิติ (counting statistical uncertainty)

(ข) ค่าความคลาดเคลื่อนเชิงระบบ (systematic uncertainty)

3.4.1 ค่าความคลาดเคลื่อนของการนับเชิงสถิติ

ค่าความคลาดเคลื่อนของการนับเชิงสถิติ เป็นค่าความคลาดเคลื่อนเนื่องจากการนับปริมาณรังสีแกมมาแต่ละค่าพลังงาน โดยถ้าให้ปริมาณรังสีแกมมาที่แท้จริงมีค่าดังสมการที่ (3.3) ดังนั้นค่าความคลาดเคลื่อนทางสถิติของการวัดปริมาณรังสีแกมมาที่แท้จริง ในแต่ละพลังงาน σ_{net} มีค่าดังสมการที่ (3.9)

$$\sigma_{net}^2 = \sigma_{gross}^2 + \sigma_{backg}^2 \quad (3.9)$$

ในการทดลองครั้งนี้ ค่าความคลาดเคลื่อนเชิงสถิติในการวัดรังสีแกมมาจากการทดลองที่ระยะต่าง ๆ โดยโปรแกรม Aptec เป็นดังนี้

(ก) ในตัวกลางอากาศห่างจากแหล่งกำเนิดนิวตรอน 2.9 เซนติเมตร ค่าความคลาดเคลื่อนของการนับเชิงสถิติที่ประเมินได้จะมีค่าอยู่ระหว่าง ± 1.4 ถึง ± 6.3 เปอร์เซ็นต์ จากปฏิกิริยา $^{58}\text{Ni}(n,p)^{58}\text{Co}$ และ $^{46}\text{Ti}(n,p)^{46}\text{Sc}$ ตามลำดับ

(ข) ในตัวกลางน้ำ ห่างจากแหล่งกำเนิดนิวตรอน 2.9 เซนติเมตร ค่าความคลาดเคลื่อนของการนับเชิงสถิติที่ประเมินได้จะมีค่าอยู่ระหว่าง ± 1.9 ถึง ± 7.9 เปอร์เซ็นต์ จากปฏิกิริยา $^{58}\text{Ni}(n,p)^{58}\text{Co}$ และ $^{46}\text{Ti}(n,p)^{46}\text{Sc}$ ตามลำดับ

(ค) ในตัวกลางน้ำ ห่างจากแหล่งกำเนิดนิวตรอน 5 เซนติเมตร ค่าความคลาดเคลื่อนของการนับเชิงสถิติที่ประเมินได้จะมีค่าอยู่ระหว่าง ± 2.1 ถึง ± 10.0 เปอร์เซ็นต์ จากปฏิกิริยา $^{58}\text{Ni}(n,p)^{58}\text{Co}$ และ $^{46}\text{Ti}(n,p)^{46}\text{Sc}$ ตามลำดับ

(ง) ในตัวกลางน้ำ ห่างจากแหล่งกำเนิดนิวตรอน 10.5 เซนติเมตร ค่าความคลาดเคลื่อนของการนับเชิงสถิติที่ประเมินได้จะมีค่าอยู่ระหว่าง ± 2.8 ถึง ± 14.6 เปอร์เซ็นต์ จากปฏิกิริยา $^{58}\text{Ni}(n,p)^{58}\text{Co}$ และ $^{46}\text{Ti}(n,p)^{46}\text{Sc}$ ตามลำดับ

3.4.2 ค่าความคลาดเคลื่อนเชิงระบบ

ค่าความคลาดเคลื่อนเชิงระบบประกอบด้วยหลายสาเหตุพอที่จะสรุปได้ดังนี้

(ก) ค่าความคลาดเคลื่อนเนื่องจากการทดลองหาค่าประสิทธิภาพของหัววัด HPGe พบว่ามีความคลาดเคลื่อน ± 3 เนื่องจากการวัดรังสีแกมมาพลังงาน 867.3 keV จากธาตุ ^{152}Eu

(ข) ค่าความคลาดเคลื่อนของค่า cross section ที่ใช้ในการคำนวณ ซึ่งประเมินค่าความคลาดเคลื่อนไว้ประมาณ ± 10 เปอร์เซ็นต์ (McElroy, 1977)

(ค) ค่าความคลาดเคลื่อนเนื่องจากการวาง detectors รอบแหล่งกำเนิดนิวตรอนประเมินไว้ที่ ± 0.1 มิลลิเมตร ในอากาศการลดลงเป็นตามกฎกำลังสองผกผันจะประเมินค่าความคลาดเคลื่อนเนื่องจากตำแหน่งได้ประมาณ ± 7 เปอร์เซ็นต์ และถ้าประเมินว่าการเปลี่ยนแปลงของ neutron flux ในน้ำใกล้เคียงกับการเปลี่ยนแปลงของ dose จะประเมินค่าความคลาดเคลื่อนเนื่องจากตำแหน่ง ในตัวกลางน้ำที่ระยะห่าง 2.9, 5 และ 10.5 เซนติเมตร เป็น ± 8 , ± 5 และ ± 3 เปอร์เซ็นต์ ตามลำดับ

(ง) ค่าความคลาดเคลื่อนเนื่องจากการสลายตัวของ ^{252}Cf ในระหว่างการอบแผ่น detectors ประเมินไว้ที่ ± 0.5 เปอร์เซ็นต์ สำหรับการทดลองที่ระยะห่างจาก ^{252}Cf 2.9 เซนติเมตร ในอากาศ และ ± 0.57 , ± 0.7 และ ± 1.2 เปอร์เซ็นต์ สำหรับการทดลองที่ระยะห่างจาก ^{252}Cf 2.9, 5 และ 10.5 เซนติเมตร ในตัวกลางน้ำตามลำดับ

ดังนั้นค่าความคลาดเคลื่อนรวมของค่า saturated activity สำหรับการทดลองหาสเปกตรัมของนิวตรอนโดยใช้เทคนิคการก่อกัมมันต์ในแผ่นโลหะ ในครั้งนี้มีคำนวณได้จากสมการที่ (3.7)

$$\sigma_{\text{exp}}^2 (\%) = \sigma_{\text{sta}}^2 (\%) + \sum_i \sigma_{\text{sys}}^2 (\%) \quad (3.10)$$

เมื่อ

$\sigma_{\text{exp}}^2 (\%)$ คือค่าความคลาดเคลื่อนของการทดลองหาค่า saturated activity

$\sigma_{\text{sta}}^2 (\%)$ คือค่าความคลาดเคลื่อนของการนับเชิงสถิติ

$\sigma_{\text{sys}}^2 (\%)$ คือค่าความคลาดเคลื่อนเชิงระบบ